

## 월성 1발전소 부지 내 지하수 및 오염물질 거동 모델링

손옥, 손순환, 전철민\*, 김구영\*

한전전력연구원, 대전시 유성구 문지로 65

\*한국지질자원연구원, 대전시 유성구 과학로 92

[wsohn@kepri.re.kr](mailto:wsohn@kepri.re.kr)

### 1. 서론

최근 친환경적인 원전 운영의 중요성이 높아짐에 따라 부지의 수문지질학적 특성에 대한 이해의 증진이 매우 중요하게 대두되고 있다. 이러한 이해 증진을 위해서는 부지 내 지하수 유동에 대한 이해가 필수적이다. 본 연구에서는 5개의 관정이 운영되고 있는 월성 1발전소 부지 내 지하수의 유동과 가상의 오염물질(삼중수소) 거동에 대해 수행한 모델링의 결과를 제시한다.

### 2. 본론

#### 2.1 부지의 수리지질 특성

월성 원자력 발전소 부지의 모암은 변성퇴적암(아질라이트)이며 여기에 안산반암, 석영안산암, 석영섬록암 등이 관입·분포하고 있으며 아질라이트와 안산암 모두 파쇄대가 발달하여 암질상태는 불량하다.

풍화대층의 투수시험 측정값은  $2.57 \times 10^{-5}$  cm/sec,  $1.01 \times 10^{-4}$  cm/sec,  $1.49 \times 10^{-4}$  cm/sec이었으며 암반의 투수시험 측정값은  $6.22 \times 10^{-6}$  cm/sec,  $3.77 \times 10^{-5}$  cm/sec,  $5.53 \times 10^{-5}$  cm/sec로 파쇄대와 절리의 발달로 인해 비교적 투수계수가 높았다.

또한 2008년부터 1년간 수행된 장기수위관측 결과로부터 수위 상승은 대부분 강우에 의한 것으로 인위적 요인이나 해수침투의 영향은 미미한 것으로 나타났다.

#### 2.2 모델링

##### 2.2.1 모델링 영역 및 격자망 구성

전반적인 지하수 유동을 파악하기 위해 월성 원전 부지를 포함하는 1,500 m × 1,400 m의 면적을 모델링 영역으로 설정하였으며(Fig. 1), 5 m 간격으로 세분한 월성 1, 2호기 및 관정 주변 이외에는 10 m 등 간격으로 나누었다.

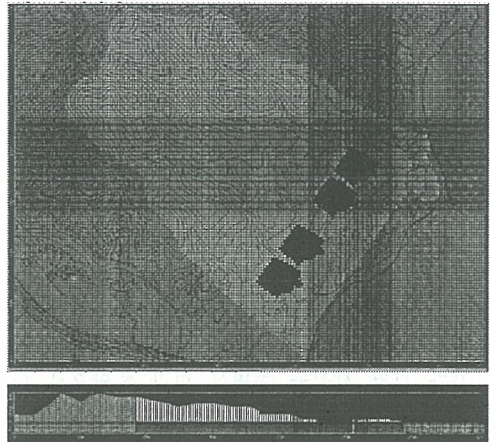


Fig. 1. Modeling area and hydraulic conductivity of each layer at Wolsong Plant 1 site

본 연구에서는 기존 지질조사 자료를 바탕으로 모델링을 위한 층을 크게 미고결층(매립토)의 제1층, 풍화대의 제2층, 안산반암 등(안산반암, 안산암, 석영반암, 석영섬록암 등)의 제3층과 아질라이트의 제4층으로 구분하였다.

##### 2.2.2 입력인자

수리전도도 값으로 제1층은 silty sand~sand에 해당하는  $1.15 \times 10^{-3}$  cm/sec를, 제2층과 제3층은 현장 투수시험 값인  $1.1 \times 10^{-4}$  cm/sec와  $5.0 \times 10^{-5}$  cm/sec를, 제4층은 아질라이트에 해당하는 값인  $1.5 \times 10^{-5}$  cm/sec를 각각 적용하였다(Fig. 1). 모델링 지역이 해안가에 위치한 관계로 해안선을 따라 고정수두경계를 EL 0 m로 제1층부터 제4층까지 설정하였다.

모델링에서 1년간의 유효 강수량에 함양율 10%를 적용하여 얻은 지하수 함양율(80 mm/yr)을 산지역에 입력하였으며 그 외 지역은 표면의 불투수성 특성을 고려하여 10 mm/yr의 지하수 함양율을 입력하였다.

### 2.2.3 Particles 및 Leakage 설정

입자이동경로 분석을 위해 모델링 영역의 지하수 최상부와 완전 상류부에 particle tracking을 설정하였으며 월성 1, 2호기 주요 시설물 주변에 6개의 가상의 point leak source를 설정하여 30년 동안 지속적으로 농도  $1.35 \times 10^{-4}$  mg/L의 삼중수소가 유출된다고 가정하여 삼중수소의 거동을 분석하였다.

## 2.3 모델링 결과

### 2.3.1 지하수 유동

본 모델링 결과에서 월성 제1발전소 부지 내 지하수의 유동의 특징으로 Fig. 2에서 보는 바와 같이 전 층에 걸쳐 대부분의 지하수가 해안으로 이동하고 있으며 제1층에서는 시설물로 인하여 등위선도가 해안에서 다소 교란되는 것을 볼 수 있다.

또한 particle tracking 결과(Fig. 2)에서 대부분의 입자가 원전 시설물 주변을 따라 해안으로 이동하는 것을 볼 수 있다. 일부 상류에서 유래된 입자들 중 일부는 구조물 내부를 관통하여 해안으로 이동하기도 한다.

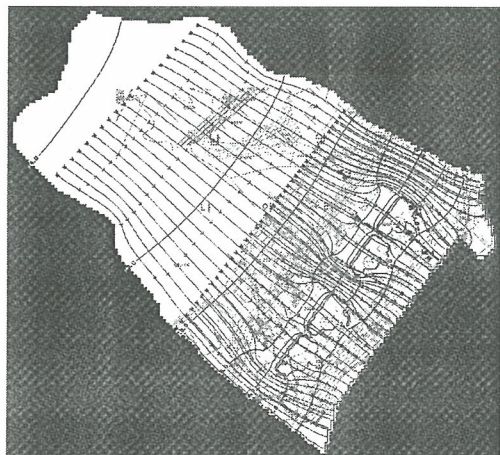


Fig. 2. Equipotential lines and pathways of particles (with arrow) at Wolsong Plant 1 site

### 2.3.2 오염물질의 거동 특성

삼중수소 거동 모델링 결과를 나타낸 Fig. 3에서 제1층은 1년 경과시점에 미국 환경보호국의 음용수용 지하수의 삼중수소 농도 제한치  $740 \text{Bg/L}$  농도 ( $2.08 \times 10^{-9} \text{ mg/L}$ )의 삼중수소가 해안에 도달하고 제2층에서는 2년이 채 되기도 전에,

그리고 제3층에서는 10년 이후 해안에 도달하는 것을 볼 수 있다. 이와는 대조적으로 제4층에서는 삼중수소는 이동, 확산되지만 point leak source 직하 부근에서만 머물 뿐이다. 전 층에서 10년 이후부터는 오염 양상에 큰 변화가 없다.

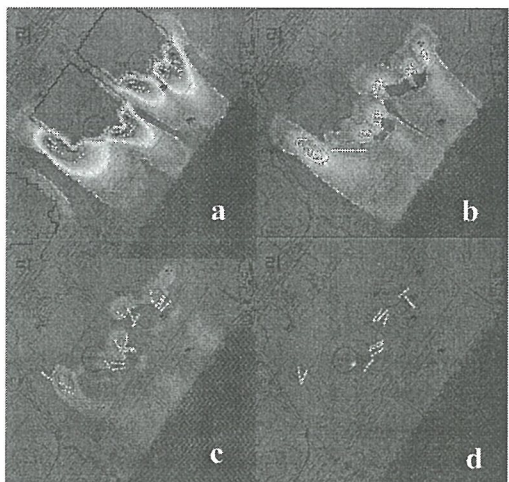


Fig. 3. Modeling of tritium transport. a) 1 year later at Layer 1, b) 2 years later at Layer 2, c) 10 years later at Layer 3, and d) 30 years later at later 4

## 3. 결론

지하수 유동 모델링 결과, 전 층에 걸쳐 대부분의 지하수가 해안으로 이동하고, 제1층에서는 시설물로 인하여 등위선도가 해안에서 다소 교란되는 것을 볼 수 있다. 가상으로 삼중수소가 지속적으로 누설되는 상황을 모델링한 결과, 제1층은 1년 경과시점에 미국 환경보호국 지하수 음용수 기준농도의 삼중수소가 해안에 도달하고 제2층에서는 2년이 채 되기도 전에 그리고 제3층에서는 10년 이후 해안에 도달하는 것을 볼 수 있으며 그 이후부터는 오염양상에 큰 변화가 없는 것으로 나타났다. 이와는 대조적으로 제4층에서는 삼중수소는 이동, 확산되지만 point leak source 직하 부근에서만 머물 뿐이었다.

## 4. 참고문헌

- [1] 월성 1호기 계속운전 방사선환경영향평가를 위한 환경조사분석/관측공 설치 및 분석 보고서, (주)지오포스, 2009.
- [2] Ground Water Tracers, S.N., Davis et al, National Water Well Association, 1985.